

近畿大学大学院総合理工学研究科	学生員	○奥野 訓史
近畿大学理工学部	正会員	江藤 剛治
近畿大学理工学部	正会員	竹原 幸生
近畿大学理工学部	正会員	高野 保英

1.はじめに

現在、室内実験ではビデオカメラなどの機器の発達により、一度に多くの流れの情報を得ることができる高精度な計測手法として画像計測が用いられている。実河川の計測でも画像計測は有効な手段として考えられる。さらに、撮影方法として有人ヘリコプターによる空中撮影を加えることで、広範囲での流れ場画像計測が可能になると考えられている。昨年の研究でヘリコプターを用いた画像計測で実河川の表面流を計測することができた。しかし、直接流速測定を行ったものと比較は行っていない。そこで、本年はヘリコプターを用いた PTV から得られた表面流速と、ADCP による計測で求められた直接の流速の比較・検討を行う。

2.実験方法

平成 14 年 7 月 3 日 15 時に国土交通省近畿地方整備局、神戸大学などと共同で、宇治川、木津川、桂川の三川合流地点より宇治川上流 1km 付近の計測を行った（図.1 参照）。この地点では標定が設置されている場所である。この日の天候は晴れ、気温 33°C、水温 26.2°C であった。撮影時は下流から上流に強い風が吹いていた。流れを可視化するためのトレーサー粒子としては、環境への負荷が小さいこと、安価であること、上空 300m から撮影しても確認可能な大きさであることを考慮して、昨年同様直径約 15cm の煎餅を使用した。煎餅は市販されているもので、主成分は澱粉である。煎餅が河川全幅一様に流れるように、河川横断方向に進むボートと撮影場所より上流の左岸 2 箇所の岸、合計 3 箇所から約 6 千枚の煎餅を散布した。



図.1 観測場所

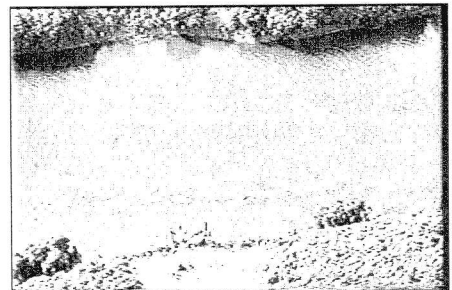


図.2 撮影領域

3.表面流の計測

3.1 解析方法：解析にはトレーサー粒子が多く流れ、標定点が 9 つ以上写っている 1 秒間隔の連続する 1 分間(60 枚)の画像を使用した。一例を図.2 に示す。川岸の白い点が標定点 (70m 間隔程度で 17 点設置) であり、川の白い点が煎餅である。その連続する画像に PTV (Particle Tracking Velocimetry) を適用し、トレーサー粒子の移動量を算出する。画像上の座標で得られた PTV の結果を実空間に変換する。画像上の座標 (x_p , y_p) から実空間上の座標 (X , Y) に変換するには¹⁾、カメラの内部パラメーター (レンズ光軸と画像の交わる画像上の座標 (x_p , y_p) レンズ光軸と画像面のなす角度 (ϕ , ψ , θ), 焦点距離 (c) など) 及び外部パラメーター (カメラレンズ中心位置 (X_0 , Y_0 , Z_0), カメラ姿勢 (α , β , γ) など) の情報が必要となる。画像上

の座標(x_p, y_p)と実空間上の座標(X, Y, Z)の関係は次式で表される。

$$x_p = -c \frac{X}{Z} \quad (1)$$

$$y_p = -c \frac{Y}{Z} \quad (2)$$

$$\begin{pmatrix} X \\ Y \\ Z \end{pmatrix} = \begin{pmatrix} a_{11} & a_{12} & a_{13} \\ a_{21} & a_{22} & a_{23} \\ a_{31} & a_{32} & a_{33} \end{pmatrix} \begin{pmatrix} X - X_0 \\ Y - Y_0 \\ Z - Z_0 \end{pmatrix} \quad (3)$$

ここで、($a_{11}, a_{12}, a_{13}, \dots, a_{33}$)はカメラ外部パラメータ(α, β, γ)によって決まる。O - XYZ 座標系は地上座標系であり、O' - X'Y'Z' は実空間上のカメラレンズ位置を中心とした座標系である。C はデジタル画像座標と実空間の変換係数(画素/長さ)となっている。Z については別途観測された水位情報を用いた。水面位置 Z が既知であれば、(3)式より Z が決定される。画像ごとの平均誤差の最大は 14cm であり、1pixel が 15cm × 15cm であることから精度のよい変換ができていると考えられる。これにより、(1), (2)式より画像の座標で得られている PTV の結果を実空間へ変換した。川岸の情報も画像から読み取り、画像の座標から実空座標に変換する。

以上の解析によって得られた流れ場には河川下流から上流へ流れる結果になるものもあった。これは波や太陽の水面からの反射光の影響が影響していると考えられた。そこで、波や太陽の水面からの反射光の画像上での輝度値を数十点調べると煎餅の中心のそれよりも小さい値となった。そこで、輝度がある程度以下(今回は輝度値 220 以下)のものを粒子とみなさないようにして、上記の解析手順で再度解析を行った。

3.2 結果・考察:図.3 に PTV の結果及び川岸のデータを実空間変換したものと示す。1 分間の平均流速分布を図.4 に示す。全体的に右岸に寄った流れとなったのは、河川が湾曲しているためだと考えられる。中央の流速 0 の部分は煎餅が殆ど無かったためだと考えられる。画像によっては煎餅と変わらない輝度や大きさの太陽の反射光を追跡している場合もみられた。

4. 水深 20cm の内部流速と表面流速の比較

図.3, 図.4 の A 断面付近の PTV で得られた 1 分間の表面の平均流速と、ADCP から得られた実測流速を比較したものを図.5 に示す。図.3 の目盛り間隔と図.5 の目盛り間隔は相似である。図.3 で原点が岸外にあるのは左岸側で植生がかぶって本当の岸の境界が撮影されていなかったからである。比較を行ったのは表面に一番近い水深 20cm の地点である。図.5 には ADCP で得られた河床形状を示す(下向きを正)。PTV で得られた表面流速が実測流速より速いという結果となった。これは下流から上流へ風が吹いていたためだと考えられる。表面流と実測流速の形状は似ているが、左岸から 65m 付近では大きな差がみられた。65m 付近では目視により潜り込む流れがあるように見えるが、PTV から得られた表面流では再現できていない。今後、PTV による表面流の観測結果を境界条件とする数値計算により、内部流が予測できるか検討する。

参考文献: 1) 除 剛・辻 三郎: 3 次元ビジョン, 共立出版, 1998

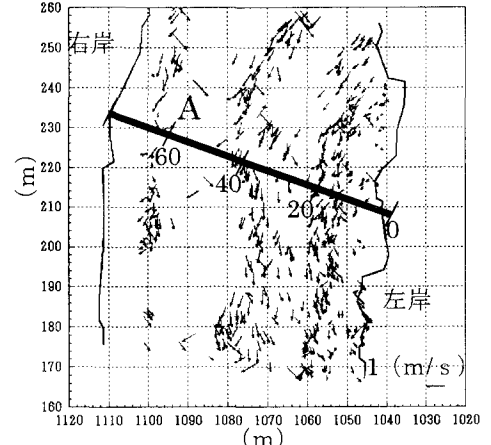


図.3 実空間変換を行った PTV の結果

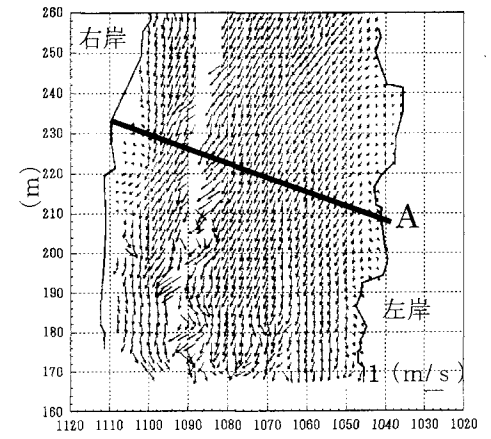


図.4. 1 分間の平均流速分布

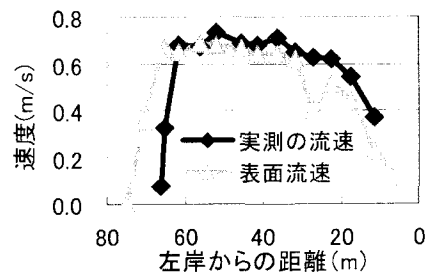


図.5 表面流速と内部流速の比較

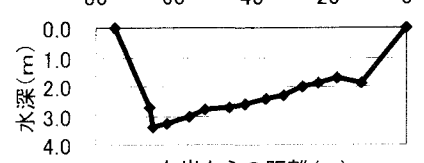


図.6 河床形状